Таким образом, технология Vehicle-to-Grid (V2G) представляет собой перспективное решение для повышения стабильности энергосистемы и эффективного использования ресурсов. Внедрение V2G может способствовать выравниванию нагрузки на сеть, увеличению доли возобновляемых источников энергии и снижению затрат на модернизацию энергосистемы.

Несмотря на существующие вызовы, такие как износ аккумуляторов, необходимость инвестиций в инфраструктуру и отсутствие нормативно-правовой базы, их преодоление возможно при комплексном подходе.

V2G может отложить инвестиции в замену оборудования, предоставляя временную «буферную» мощность.

# ИССЛЕДОВАНИЕ ВЛИЯНИЯ СТРУКТУРЫ МОЩНОСТЕЙ ПЕРЕТОКА В ЭНЕРГОСИСТЕМУ НА УСТОЙЧИВОСТЬ СИСТЕМЫ ЭЛЕКТРОСНАБЖЕНИЯ С ОДНИМ ГЕНЕРАТОРОМ

## Ф. С. Запутряев

Учреждение образования «Гомельский государственный технический университет имени П. О. Сухого», Республика Беларусь

## Научный руководитель Н. В. Грунтович

Выполнены исследования влияния изменения длины ЛЭП и  $\cos{(\phi_c)}$  на запас статической мощности системы электроснабжения. Дана оценка изменения запаса статической мощности в процентах при изменении структуры мощностей перетока в энергосистему.

**Ключевые слова:** запас статической мощности, ЛЭП, характеристика мощности генератора, структура мощности перетока в энергосистему.

Для электрической системы, приведенной на рис. 1, с генератором, не оснащенным устройством APB, требуется:

- определить предел передаваемой мощности;
- определить коэффициенты запаса по мощности и углу;
- построить угловую характеристику мощности;

Расчеты выполнить при приближенном приведении электрических сопротивлений схемы в относительных единицах.

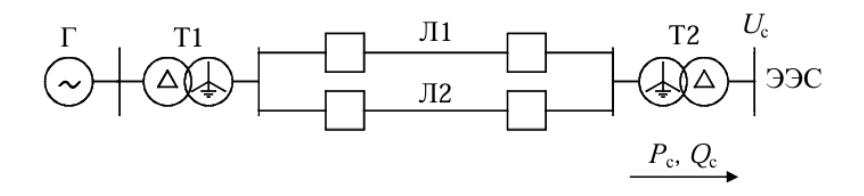


Рис. 1. Расчетная схема электрической системы

#### Исходные данные даны на рис. 2.

Генератор		Трансформатор 1		лэп		Трансформатор 2		Передаваемая мощность	
P <sub>B</sub> , MBT	160	S <sub>s</sub> ,MBA	200	X <sub>0</sub> OM/KM	0,4	S <sub>R</sub> ,MBA	240	Pc, MBT	95
cosφ	0,85	U <sub>HB</sub> , KB	120	1, км	380	U <sub>sis</sub> , kB	38,5	Qc, MBAp	117,1
$U_{\mu}$ , $\kappa B$	10,5	U <sub>k</sub> , %	7	U <sub>RTM</sub>	115	U <sub>E</sub> , %	10		
X <sub>d*</sub> o.e.	2,1								

Рис. 2. Исходные данные 1

Принимаем: исходные данные приведены на рис. 3.

S <sub>6a3=</sub> P <sub>c</sub> MBt	80
U <sub>5az</sub> KB	115
Мощности передачи в о.е	
Активная, P <sub>c*</sub> =P <sub>c</sub> /S <sub>6аз</sub>	1,1875
Реактивная, $Q_{c*}=Q_{c}/S_{683}$	1,46375
Расчет сопротивлений передачи:	
Генератор, $Xd=xd^*\cdot S_{6as}/S_{HOM}$	0,8925
Трансформатор1, X <sub>71</sub> =U <sub>к</sub> ·S <sub>6а3</sub> /100⋅S <sub>ном</sub>	0,028
ЛЭП, Хл=х0·1·S <sub>баз</sub> /U <sub>баз,ЛЭП</sub> <sup>2</sup>	0,230
Трансформатор2, $X_{72}=U_x \cdot S_{6ax}/100 \cdot S_{HOM}$	0,033333333
Внешнее сопротиление сети в нормальном режиме	
$X_C = X_{\tau 1} + X_{\pi} + X_{\tau 2}$	0,291
Суммарное сопротивление сети с учетом сопротивления генератора по	
продольной оси	
$X_{d\Sigma} = Xd + Xc$	1,184
Синхронная ЭДС генератора без АРВ	
$E_q = \sqrt{\left(U_c + \frac{Q_c x_{d\Sigma}}{U_c}\right)^2 + \left(\frac{P_c x_{d\Sigma}}{U_c}\right)^2} :$	3,073
Напряжение на генераторе $U_{\rm r} = \sqrt{\left(U_{\rm c} + \frac{Q_{\rm c} x_{\rm c}}{U_{\rm c}}\right)^2 + \left(\frac{P_{\rm c} x_{\rm c}}{U_{\rm c}}\right)^2}$	1,468
Предел передаваемой мощности $\mathbf{P}\mathbf{m}=\mathbf{E}_{\mathbf{q}}\cdot\mathbf{U}_{\mathbf{c}}/\mathbf{X}_{d\Sigma}$	2,60
Коэффициент запаса статической устойчивости по мощности $k_P$ = ( $P_M$ - $P_C$ )/ $P_C$	1,60
Определяем угол сдвига δ <sub>0</sub> между вектором ЭДС генератора Eq и напряжением системы Uc	22,66
Коэффициент запаса статической устойчивости по углу	0,75

Рис. 3. Исходные данные 2

Будем изменять  $\cos(\phi_{\rm c})$  от значения 0,63 до 0,9 с шагом 0,09 и вычислим коэффициенты запаса статической устойчивости по углу  $(k_{\rm g})$  и мощности  $(k_{\rm p})$ 

При  $\cos(\varphi_c) = 0.63$ :  $k_\delta = 0.75$ ;  $k_p = 1.6$ . При  $\cos(\varphi_c) = 0.72$ :  $k_\delta = 0.72$ ;  $k_p = 1.32$ . При  $\cos(\varphi_c) = 0.81$ :  $k_\delta = 0.68$ ;  $k_p = 1.08$ . При  $\cos(\varphi_c) = 0.9$ :  $k_\delta = 0.64$   $k_0 = 0.85$ .

При изменении  $\cos(\varphi_c)$  установлено, что при его увеличении от 0,63 до 0,9 коэффициент запаса статической устойчивости по углу уменьшается с 0,75 до 0,64, а коэффициент запаса статической устойчивости по мощности – с 1,6 до 0,85. Запас статической устойчивости по мощности при увеличении  $\cos(\varphi_c)$  с шагом 0,09 сокращается в среднем на 22,3 %

Исследуем влияние изменения длины ЛЭП (L) на устойчивость системы электроснабжения.

Будем изменять L от значения 80 км до 600 км с шагами 40 км и 100 км и вычислим коэффициенты запаса статической устойчивости по углу  $(k_{\rm g})$  и мощности  $(k_{\rm g})$ .

```
При L=80 км: k_{\delta}=0.76; \quad k_{p}=1.73. При L=120 км: k_{\delta}=0.76; \quad k_{p}=1.71. При L=160 км: k_{\delta}=0.76; \quad k_{p}=1.69. При L=200 км: k_{\delta}=0.76; \quad k_{p}=1.67. При L=300 км: k_{\delta}=0.75; \quad k_{p}=1.63. При L=400 км: k_{\delta}=0.75; \quad k_{p}=1.59. При L=500 км: k_{\delta}=0.74; \quad k_{p}=1.55. При L=600 км: k_{\delta}=0.74; \quad k_{p}=1.52.
```

При изменении L установлено, что при увеличении ее от 80 до 200 км с шагом 40 км коэффициент запаса статической устойчивости по углу практически не изменяется, поэтому, начиная с 200 км до 600 км был принят шаг 100 км. Коэффициент запаса статической устойчивости по углу уменьшается с 0,76 до 0,74, а коэффициент запаса статической устойчивости по мощности — с 1,73 до 1,52. Запас статической устойчивости при увеличении L сокращается в среднем на 2,07 %.

#### Литература

- 1. Евминов, Л. И. Электромагнитные переходные процессы в системах электроснабжения: пособие для практических занятий по одноименному курсу для студентов энергетических специальностей дневной и заочной форм обучения / Л. И. Евминов. Гомель : ГГТУ им. П. О. Сухого, 2009. 304 с.
- 2. Калентионок, Е. В. Устойчивость электроэнергетических систем / Е. В. Калентионок. Минск : Техноперспектива, 2008. 375 с
- 3. Руководящие указания по устойчивости систем. Минск: Белэнерго, 2005. 19 с.
- 4. Голованов, И. Г Переходные процессы в ЭЭС. Часть 2: Электромеханические переходные процессы: метод. указания по практическим занятиям и самостоятельной работе студентов / И. Г. Голованов. Ангарск, 2014. 90 с.

# ОСОБЕННОСТИ РАСЧЕТА РЕЖИМОВ ТРЕХФАЗНОЙ НИЗКОВОЛЬТНОЙ ЭЛЕКТРИЧЕСКОЙ СЕТИ

#### М. Г. Гончаров

Учреждение образования «Гомельский государственный технический университет имени П. О. Сухого», Республика Беларусь

## Научный руководитель Д. И. Зализный

Рассмотрены особенности расчета режимов трехфазной низковольтной электрической сети при несимметричных нагрузках. Алгоритм реализован в программе Mathcad для простейшей схемы. Предложено оценивать степень несимметричности нагрузки по методу симметричных составляющих. Получены зависимости потерь напряжения и мощности в сети в зависимости от степени несимметричности нагрузки.

**Ключевые слова:** трехфазный, электрическая сеть, проводимость, коэффициент, несимметрия, нагрузка.

Электрические сети жилых и общественных зданий отличаются от электрических сетей в промышленности тем, что почти вся нагрузка этих сетей состоит из однофазных электроприемников, непостоянный режим работы которых приводит к несимметричному режиму работы сети.